

اثر محدودیت آبیاری و کاربرد کودهای زیستی و نانو سیلیکون بر عملکرد و برخی ویژگی‌های بیوشیمیابی گندم

فرناز احمدی نورالدین‌وند^{۱*}، رئوف سید‌شیری‌فی^۲، سید عطاء‌الله سیادت^۳ و راضیه خلیل‌زاده^۴

تاریخ پذیرش: ۱۳۹۹/۱۱/۰۴

تاریخ دریافت: ۱۳۹۹/۰۷/۳۰

چکیده

به منظور ارزیابی اثر محدودیت آبیاری و کاربرد کودهای زیستی و نانو سیلیکون بر عملکرد و برخی ویژگی‌های بیوشیمیابی گندم، آزمایشی به صورت فاکتوریل در قالب طرح پایه بلوك‌های کامل تصادفی با سه تکرار در مزرعه پژوهشی دانشکده کشاورزی و منابع طبیعی دانشگاه محقق اردبیلی در سال زراعی ۱۳۹۷-۹۸ اجرا شد. عامل‌های آزمایشی شامل آبیاری در سه سطح (آبیاری کامل به عنوان شاهد و قطع آبیاری از مرحله ۵۰ درصد سنبله‌دهی و آبستنی به ترتیب به عنوان محدودیت ملایم و شدید آبی بر اساس کد ۵۵ و ۴۳ مقیاس (BBCH)، محلول‌پاشی نانو سیلیکون (Mحلول‌پاشی با آب به عنوان شاهد، ۳۰ و ۶۰ میلی‌گرم در لیتر به ترتیب معادل ۲۲/۵ و ۴۵ میلی‌گرم در مترمربع) و کودهای زیستی (عدم کاربرد به عنوان شاهد، کاربرد قارچ مایکوریزا (*Glomus mosseae*), کاربرد باکتری‌های *Flavobacterium* و *Flavobacterium Putida strain 186*، کاربرد تأم مایکوریزا و باکتری‌ها) بودند. نتایج نشان داد که بیشترین فعالیت آنزیم‌های آنتی‌اکسیدان و قندهای محلول با کاربرد تأم کودهای زیستی و محلول‌پاشی ۳۰ میلی‌گرم در لیتر نانو سیلیکون تحت شرایط قطع آبیاری در مرحله آبستنی به دست آمد. تحت شرایط آبیاری کامل و عدم کاربرد کودهای زیستی و نانو سیلیکون، فعالیت آنزیم‌های کاتالاز، پراکسیداز و پلی‌فنول‌اکسیداز و میزان قندهای محلول به ترتیب ۷۸، ۷۸، ۶۴، ۴۹ و ۷۴ درصد در مقایسه با قطع آبیاری در مرحله آبستنی و کاربرد تأم کودهای زیستی و محلول‌پاشی ۳۰ میلی‌گرم در لیتر نانو سیلیکون کاهش یافت. بیشترین محتوای پروولین با کاربرد ۶۰ میلی‌گرم در لیتر نانو سیلیکون (۹/۵۰ میکرو‌گرم در گرم وزن تر) و کاربرد تأم کودهای زیستی (۹/۷ میکرو‌گرم در گرم وزن تر) در شرایط قطع آبیاری در مرحله آبستنی (۱۰/۹۷ میکرو‌گرم در گرم وزن تر) به دست آمد. میزان پراکسیدهیدروژن نیز تحت شرایط قطع آبیاری در مرحله آبستنی و عدم کاربرد نانو سیلیکون و کودهای زیستی، به میزان ۹۰ درصد نسبت به کاربرد ۶۰ میلی‌گرم در لیتر نانو سیلیکون و کاربرد تأم کودهای زیستی در شرایط آبیاری نرمال افزایش یافت. بیشترین عملکرد دانه (۴۵۹۳ کیلو‌گرم در هکtar) از کاربرد تأم کودهای زیستی و ۳۰ میلی‌گرم در لیتر نانو سیلیکون در شرایط آبیاری کامل به دست آمد. نتایج این مطالعه نشان داد که کاربرد تأم کودهای زیستی و نانو سیلیکون به واسطه بهبود ویژگی‌های بیوشیمیابی گیاه، می‌تواند عملکرد دانه گندم را تحت شرایط محدودیت آبی افزایش دهد.

واژه‌های کلیدی: آنتی‌اکسیدان‌ها، پراکسید هیدروژن، قطع آبیاری، قندهای محلول، نانوتکنولوژی

- ۱- دانشجوی دکتری، گروه مهندسی تولید و ژنتیک گیاهی، دانشکده کشاورزی و منابع طبیعی، دانشگاه محقق اردبیلی، اردبیل، ایران
- ۲- استاد، گروه مهندسی تولید و ژنتیک گیاهی، دانشکده کشاورزی و منابع طبیعی، دانشگاه محقق اردبیلی، اردبیل، ایران
- ۳- استاد، گروه مهندسی تولید و ژنتیک گیاهی، دانشکده کشاورزی، دانشگاه علوم کشاورزی و منابع طبیعی خوزستان، ایران
- ۴- دانش‌آموخته دکتری، گروه مهندسی تولید و ژنتیک گیاهی، دانشکده کشاورزی، دانشگاه ارومیه، ایران

* نویسنده مسئول: farnaz_ahmadi@rocketmail.com

مقدمه

Raklami *et al.*, 2019) زیستمحیطی پیشنهاد شده است (

2019). در واقع کودهای زیستی شامل انواع ریز موجودات آزادی هستند که توانایی تبدیل عناصر غذایی پر مصرف را از فرم غیر قابل دسترس به فرم قابل دسترس طی فرآیندهای زیستی دارند و منجر به توسعه سیستم ریشه‌ای و جوانه‌زنی بهتر بذر می‌شوند (Wu *et al.*, 2005). نتایج برخی بررسی‌ها نشان داد که تلقیح بذر گندم و جو با باکتری‌های محرک رشد موجب افزایش فعالیت‌های آنتی‌اکسیدان و تحمل بهتر گیاهان به تنش‌های محیطی و کاهش آثار مخرب تنش‌های اکسایشی شد (Ahmad and Prasad, 2012). خیریزاده آروق و همکاران (Kheirizadeh Arough *et al.*, 2016) بیشترین فعالیت آنزیم‌های کاتالاز، پراکسیداز، پلی‌فنل اکسیداز، محتوای پرولین و قندهای محلول در تریتیکاله را در کاربرد تؤام میکوریزا و باکتری در شرایط قطع آبیاری در مرحله آبستنی گزارش کردند. همچنین، تلقیح بذر با کودهای زیستی (قارچ و باکتری‌های محرک رشد) در شرایط تنش خشکی سبب افزایش پروتئین محلول، پراکسیداز و پرولین در گیاه شد (Irankhah *et al.*, 2021). قلی‌نژاد و همکاران (Gholinezhad *et al.*, 2020) گزارش کردند که کمبود آب سبب کاهش عملکرد دانه کنجد شد، اما وقتی بذرهای این گیاه با قارچ مایکوریزا تلقیح شدند، عملکرد دانه آن به دلیل کاهش آثار ناشی از تنش آبی، به طور معنی‌داری افزایش یافت. کاربرد برخی عناصر ریزمغذی در شرایط کمبود آب، راهبردی است که می‌تواند اثر مخرب تنش خشکی بر رشد و عملکرد گیاهان را کاهش دهد. سیلیکون (سیلیسیم) از جمله عناصری است که می‌تواند منجر به افزایش تحمل گیاهان زراعی به تنش‌های مختلف زیستی و غیرزیستی شود (Gong and Chen, 2012). سیلیکون دومین عنصر در پوسته زمین است و عنصر ضروری برای رشد و نمو گیاه محسوب نمی‌شود، ولی به دلیل نقش محوری فیزیکی- مکانیکی آن، برای رشد بیش‌تر گیاهان مفید است و فرآیندهای فیزیولوژیکی و متabolیکی زیادی را فعال می‌کند (Luyckx *et al.*, 2017). در حال حاضر سیلیکون (Si) به عنوان یک عنصر ضروری شناخته نشده است، بلکه به عنوان عنصر شبه ضروری برای رشد گیاهان در نظر گرفته می‌شود (Gaur *et al.*, 2020). با توجه به تحقیقات صورت گرفته در خصوص این عنصر و نیز آثار سودمند سیلیکون بر رشد و توسعه گیاهانی که تحت

خشکی یکی از مهم‌ترین تنش‌های غیرزیستی موثر در کاهش عملکرد گیاهان زراعی است ولی گیاهان قادرند با ایجاد مکانیسم‌های فیزیولوژیک و بیوشیمیایی در جهت حفظ رشد و جلوگیری از کاهش بیش‌تر عملکرد به نحو موثر عمل کنند (Batool *et al.*, 2019). یکی از علایم تغییرات بیوشیمیایی در گیاهان تحت تنش، تولید گونه‌های فعال اکسیژن است. اختلال در انتقال الکترون در کلروپلاست و میتوکندری موجب تولید سوپراکسید (O_2^-) و پراکسید هیدروژن (H_2O_2) می‌شوند که در شرایط مطلوب فیزیولوژیک مضر نیستند، ولی واکنش‌های اکسایش - احیا فلزات (Cu^{2+} و Fe^{3+}) منجر به تولید رادیکال‌های بسیار فعال هیدروکسیل (OH) می‌شوند که موجب آسیب سلولی از طریق پراکسیداسیون غشا، تغییر شکل پروتئین و آسیب DNA می‌شود. برای جلوگیری از تولید این مولکول‌های واکنش‌پذیر، گیاهان از مکانیسم‌های دفاعی ویژه‌ای برخوردارند که از همکاری آنزیم‌های آنتی‌اکسیدان سوپراکسید دیسموتاز، کاتالاز و پراکسیداز و آنتی‌اکسیدان‌های کاروتونوئید، توکوفرول، اسکوربات، گلوتاتیون تشکیل شده‌اند (Bandeoglu *et al.*, 2004). امروزه برخی محققان معتقدند که افزایش میزان آنتی‌اکسیدان‌ها تحمل گیاه به تنش‌های محیطی را افزایش می‌دهد. به نحوی که گزارش شده است در شرایط تنش خشکی افزایش فعالیت آنزیم‌های آنتی‌اکسیدانی مانند کاتالاز و پراکسیداز منجر به افزایش مقاومت گیاه نسبت به شرایط تنشی می‌شود (Sattar *et al.*, 2021). ستار و همکاران (Ghanbari *et al.*, 2020) اظهار داشتند که افزایش فعالیت آنزیم‌های کاتالاز، پراکسیداز، سوپراکسید دیسموتاز در گندم با تغییر در ویژگی‌های فیزیولوژیک و بیوشیمیایی، موجب افزایش مقاومت گیاه در شرایط تنش خشکی شد.

مدیریت مناسب تغذیه گیاهی در جهت بهبود مقاومت گیاه به محدودیت‌های ناشی از شوری و خشکی، یکی از راهکارهای مناسب برای افزایش عملکرد تحت تغییر شرایط محیطی است (Abdelilah and Boumezzough, 2017). در این راستا استفاده از کودهای زیستی (قارچ‌های مایکوریزا و باکتری‌های محرک رشد) به عنوان یک راه حل بالقوه برای افزایش رشد و کارایی فتوسنترز، افزایش فعالیت آنزیم‌های آنتی‌اکسیدان و افزایش عملکرد و تحمل به محدودیت‌های

کشور و اهمیت کودهای زیستی و نانوسیلیکون در تعديل بخشی از آثار ناشی از محدودیت آبی و بررسی های محدود انجام شده در مورد برهمکنش این عوامل، موجب شد تا تحقیق حاضر اجرا شود که هدف از آن بررسی اثر این عوامل بر عملکرد و برخی ویژگی های بیوشیمیایی گندم بود.

مواد و روش ها

آزمایش به صورت فاکتوریل در قالب طرح پایه بلوک های کامل تصادفی با سه تکرار در مزرعه پژوهشی دانشکده کشاورزی و منابع طبیعی دانشگاه محقق اردبیلی با مختصات جغرافیایی ۴۸ درجه و ۲۰ دقیقه طول شرقی و ۳۸ درجه و ۱۵ دقیقه عرض شمالی و ارتفاع ۱۳۵۰ متر از سطح دریا، در سال زراعی ۱۳۹۷-۹۸ اجرا شد. شرایط اقلیمی در طول دوره رشد گندم و نتایج آرمون خاک محل آزمایش به ترتیب در جدول های ۱ و ۲ ارایه شده است. رقم گندم مورد استفاده در این آزمایش، رقم میهن بود که دارای تیپ رشد زمستانه، متحمل به زنگ زرد و نیمه متحمل به زنگ قهوه ای و سیاه است و از مرکز تحقیقات جهاد کشاورزی اردبیل تهیه شد.

شرایط تنفس هستند، می توان چنین اظهار کرد که سیلیکون عنصری سودمند برای رشد گیاهان در شرایط نامساعد محیطی است، به نحوی که موجب تعديل اثر تنفس خشکی و شوری، بهبود فعالیت فتوسنتز، کاهش سمیت مواد معدنی و افزایش تحمل به تنفس های غیرزنده می شود (Hajiboland *et al.*, 2017). این ماده موجب افزایش محتوای آب برگ در گیاهان تحت تنفس خشکی از طریق تشکیل لایه ضخیم در زیر اپیدرم برگ می شود (Luyckx *et al.*, 2017). کاربرد سیلیکون می تواند سنتز آنزیم های آنتی اکسیدان را افزایش و اثر منفی ناشی از تنفس خشکی را به شدت کاهش دهد (Shekari *et al.*, 2017). بررسی اثر سیلیکون بر گندم تحت تنفس خشکی مشخص کرد که فعالیت آنزیم های کاتالاز و سوبراکسید دیسموتاز در مقایسه با عدم کاربرد سیلیکون، افزایش یافته و اثر تنفس به واسطه کاهش میزان پراکسید هیدروژن، کاهش می باشد (Gong *et al.*, 2008). علاوه بر این، محتوای پرولین نیز در شرایط تنفس در مقایسه با تیمار شاهد افزایش یافت و با کاربرد سیلیکون افزایش بیشتری در آن مشاهده شد (Haddad and Mokhlesian, 2016).

مواجه شدن بخشی از دوران رشدی به ویژه دوران رشد زایشی گندم با محدودیت آبی در مناطق خشک و نیمه خشک

جدول ۱- پارامترهای جوی ثبت شده در طول دوره رشد گندم

Table 1. Meteorological parameters recorded during wheat growth period

Month	Rainfall (mm)	Average temperature (°C)	Total sunshine (h)	Average relative humidity (%)
Oct	43.6	11.8	201.3	72
Nov	9.7	11.7	166.5	64
Des	6.5	3	177.3	70
Jan	16.5	4.6	165.4	67
Feb	54.8	0.06	128.7	77
MA	26.5	7	157.5	73
Apr	9.3	9	170.9	66
May	60.3	12.3	196.3	71
Jun	28.2	16.8	148.6	71
Jul	3.9	21.5	344.2	60
Aug	0.9	25.3	255.6	69

Reference: Meteorological organization of Ardabil province (<http://www.ardabilmet.ir/>).

جدول ۲- ویژگی های فیزیکی و شیمیایی خاک مزرعه آزمایشی

Table 2. Soil physicochemical properties of the experimental field

Saturated extract	pH	CaCO ₃	Clay	Silt	Sand	Soil texture	Organic carbon	N	P	K	Zn
				(Percent)							
49	7.8	14.4	23	42	35	Loam	0.62	0.06	8.29	202	1.8

اسپکتروفوتومتر تعیین شد. برای سنجش پروتئین محلول از روش برادفورد (Bradford, 1976) و در طول موج ۵۹۵ نانومتر توسط دستگاه اسپکتروفوتومتر اندازه‌گیری شد. برای اندازه‌گیری قندهای محلول از روش دابیوس و همکاران (Dubios *et al.*, 1956) و برای استخراج پرولین از روش بیتس و همکاران (Bates *et al.*, 1973) استفاده شد. محتوای پراکسید هیدروژن (H_2O_2) با استفاده از دستگاه اسپکتروفوتومتر و در طول موج ۳۹۰ نانومتر اندازه‌گیری شد (Alexieva *et al.*, 2001). میزان پراکسیداسیون لیپیدی (مالون دی آلدئید) براساس روش پیشنهادی استوارت و بولی (Stewart and Beweley, 1980) اندازه‌گیری شد. جهت اندازه‌گیری صفات بیوشیمیابی، نمونه‌برداری‌ها در هنگام صحیح و به صورت یک مرحله‌ای در زمان گلدهی گیاه انجام گردید (Mushtaq *et al.*, 2020). عملکرد دانه از دو خط اصلی هر کرت با رعایت اثر حاشیه‌ای از سطحی معادل 0.02 متر مربع برآورد شد. برای تجزیه داده‌ها و رسم نمودارها از نرمافزارهای SAS (نسخه $9/4$) و Excel و برای مقایسه میانگین‌ها از آزمون LSD در سطح احتمال پنج درصد استفاده شد.

نتایج و بحث

فعالیت آنزیم‌های آنتی‌اکسیدانی: نتایج تجزیه واریانس نشان داد که اثر سطوح آبیاری، کودهای زیستی، نانوسیلیکون و برهمکنش این عوامل بر فعالیت آنزیم‌های کاتالاز، پراکسیداز و پلی‌فنل‌اکسیداز در سطح احتمال یک درصد معنی‌دار بود (جدول ۳). بین رژیم‌های مختلف آبیاری بیشترین فعالیت آنزیم‌های کاتالاز، پراکسیداز و پلی‌فنول اکسیداز در شرایط قطع آبیاری در مرحله آبستنی به ترتیب با مقادیر $75/75$ ، $48/44$ و $88/88$ و $74/56$ تغییرات جذب در میکروگرم پروتئین بر دقیقه به دست آمد. در واقع تنش‌های محیطی بر محدوده وسیعی از فعالیت‌های گیاهان نیز تأثیر می‌گذارند و با توجه به نتایج حاصل از این پژوهش تغییر در فعالیت‌های آنزیم‌های آنتی‌اکسیدانی نیز یکی از مکانیسم‌های مهمی است که در شرایط روبه‌رو شدن گیاه با تنش‌های محیطی مثل تنش خشکی برای بالا بردن تحمل گیاه در این شرایط رخ می‌دهد. همچنین بیشترین فعالیت آنزیم‌های آنتی‌اکسیدانی از کاربرد تؤمن قارچ مایکوریزا و باکتری‌های محرک رشد و 30

عامل‌های آزمایشی شامل آبیاری در سه سطح (آبیاری کامل به عنوان شاهد، قطع آبیاری در $50/5$ % مراحل سنبله‌دهی و آبستنی به ترتیب به عنوان محدودیت ملایم و شدید آبی بر اساس کد 55 و 43 مقیاس (BBCH)، محلول پاشی نانوسیلیکون در سه سطح (محلول پاشی با آب به عنوان شاهد و 30 و 60 میلی‌گرم در لیتر به ترتیب معادل $22/5$ و 45 میلی‌گرم در مترمربع) و کودهای زیستی در چهار سطح (عدم کاربرد به عنوان شاهد و کاربرد قارچ مایکوریزا، باکتری‌های محرک رشد و کاربرد تؤمن قارچ و باکتری) بودند. محلول پاشی نانوسیلیکون در دو مرحله ساقه‌دهی و مرحله قبل از آبستنی (به ترتیب معادل با کد 30 و 43 مقیاس BBCH) اعمال شد. نانوسیلیکون (Nano-SiO₂) با اندازه ذرات 20 تا 30 نانومتر محصول شرکت Amerikaii US Research Nanomaterial ایرانیان تهیه شد. قارچ مورد استفاده Glomus mosseae بود که از شرکت زیست فناوران توران تهیه و به میزان 20 گرم در هر مترمربع خاک (200 کیلوگرم در هکتار) به روش استاندارد و توصیه شده توسط جیانینازی و همکاران (Gianinazzi *et al.*, 2001) باکتری‌های Pseudomonas Putida و Flavobacterium strain 186 از موسسه تحقیقات خاک و آب تهیه شد. برای تلقیح بذرها از مایه تلقیحی که هر گرم آن دارای 10^8 عدد باکتری زنده و فعال بود استفاده و از محلول صمغ عربی برای چسبندگی بهتر مایه تلقیح به بذرها استفاده شد. این مخلوط به مدت دو ساعت در محل خشک و تاریک قرار داده شد. هر واحد آزمایشی دارای پنج ردیف کاشت با فواصل بین ردیفی 20 سانتی‌متر و تراکم 400 بذر در متر مربع (تراکم مطلوب و توصیه شده این رقم) بود. کاشت در 12 آبان ماه انجام شد. اولین آبیاری بعد از کاشت و آبیاری‌های بعدی بسته به شرایط محیطی، نیاز گیاه زراعی و سطوح ذکر شده انجام شد. به منظور اطمینان از عدم تداخل آب آبیاری به کرت‌های مجاور، فاصله بین کرت‌ها $1/5$ متر در نظر گرفته شد. به دلیل عدم وجود آفت و بیماری در طول دوره رشد، هیچگونه مبارزه شیمیابی صورت نگرفت. فعالیت آنزیم‌های کاتالاز، پراکسیداز و پلی‌فنل‌اکسیداز در برگ پرچم با استفاده از روش کارو و Mishra (Karo and Mishra, 1976) و به وسیله دستگاه

به نظر می‌رسد که بخشی از افزایش فعالیت آنزیم‌های آنتی اکسیدانی ناشی از کاربرد سیلیکون باشد که با محافظت از غشای سلول در برابر پراکسیداسیون لیپیدی، موجب تحمل گیاه به شرایط تنفس و افزایش فعالیت آنزیم‌های آنتی اکسیدانی همانند کاتالاز و پراکسیداز می‌شود (Shekari *et al.*, 2017). افزایش فعالیت آنزیم‌های آنتی اکسیدانی در شرایط قطع آبیاری در مرحله آبستنی را، با کاهش خسارت گونه‌های فعل اکسیژن و محافظت سلول‌ها در برابر تنفس اکسیداتیو می‌توانند از آسیب واردہ به گیاه را کاهش و منجر به بهبود عملکرد شوند (Young *et al.*, 2013). در این بررسی در ترکیبات تیماری که از سیلیکون استفاده شده بود کاهش عملکرد در تمامی سطوح از محدودیت آبی کمتر بود (شکل ۱). تأثیر این ماده در جلوگیری از تخریب ساختاری و عملکردی غشای سلولی، افزایش پایداری لیپیدها در غشای سلولی برنج در معرض تنفس خشکی و گرما نیز توسط دیگر محققان گزارش شده است (Agarie *et al.*, 1998).

مشابهی نیز مبنی بر افزایش فعالیت آنتی اکسیدانی گندم تلقیح شده با کودهای زیستی گزارش شده است (Chakraborty *et al.*, 2013).

قندهای محلول: نتایج تجزیه واریانس بیانگر معنی‌داری عامل‌های آزمایشی بر میزان قندهای محلول در سطح احتمال یک درصد است (جدول ۳). همچنین اثرات متقابل هر یک از فاکتورهای آزمایشی در سطح یک درصد معنی‌دار بود. در بین رژیم‌های مختلف آبیاری بیشترین محتوای قند محلول در شرایط قطع آبیاری در مرحله آبستنی مشاهده شد که نسبت به آبیاری در مرحله سنبله‌دهی و آبیاری کامل به ترتیب ۵۹/۸۶ و ۶۵ درصد افزایش داشت. در واقع با افزایش شدت تنفس خشکی در هر مرحله از رشد گیاه، محتوای قند محلول نیز افزایش یافت. همچنین در تیمارهای محلول‌پاشی با نانوسیلیکون و تلقیح بذر با کودهای زیستی نیز افزایش محتوای قند محلول مشاهده شد، بهنحوی که تلقیح بذر با قارچ مایکوریزا و باکتری‌های محرك رشد سبب افزایش ۷۵/۰۵ درصدی محتوای قند محلول نسبت به عدم تلقیح شد. همچنین اعمال ۳۰ میلی‌گرم در لیتر نانوسیلیکون نسبت به ۶۰ میلی‌گرم نانوسیلیکون و عدم اعمال نانوسیلیکون به ترتیب سبب افزایش ۱۵/۱۵ و ۳۱ درصدی محتوای قند محلول شد.

میلی‌گرم در لیتر نانوسیلیکون و کم‌ترین فعالیت آن‌ها از عدم کاربرد این عوامل حاصل شد. همان‌طور که مقایسه میانگین‌ها (جدول ۴) نشان می‌دهد، بیشترین فعالیت این آنزیم‌های آنتی اکسیدانی در برهمکنش سه گانه این عوامل یعنی کاربرد تؤام کودهای زیستی و محلول‌پاشی ۳۰ میلی‌گرم در لیتر نانوسیلیکون در شرایط قطع آبیاری در مرحله آبستنی به دست آمد، به طوری که کاربرد تؤام کودهای زیستی و محلول‌پاشی ۳۰ میلی‌گرم در لیتر نانوسیلیکون تحت شرایط قطع آبیاری در مرحله آبستنی موجب افزایش به ترتیب ۴۹، ۷۸ و ۶۴ درصدی فعالیت کاتالاز، پراکسیداز و پلی‌فنل اکسیداز نسبت به شرایط آبیاری کامل و عدم کاربرد کودهای زیستی و نانوسیلیکون شد (جدول ۴).

یکی از دلایل افزایش فعالیت آنزیم‌های آنتی اکسیدانی در شرایط تنفس خشکی می‌تواند ناشی از همزیستی موثر کاربرد کودهای زیستی به صورت تؤام و یا تک تک در مقایسه با عدم کاربرد آنها باشد، زیرا کاربرد کودهای زیستی (قارچ مایکوریزا و باکتری‌های محرك رشد) به دلیل افزایش جذب عناصر غذایی توسط گیاه، سبب افزایش فعالیت آنزیم‌های آنتی اکسیدانی می‌شود. عموماً زمانی که گیاهان در معرض تنفس‌های مختلف محیطی قرار می‌گیرند، گونه‌های فعل اکسیژن موجب تخریب چربی‌ها، تجزیه کلروفیل، تخریب ساختار پروتئین‌ها و آسیب به نوکلئیک اسیدها می‌شوند (Moller *et al.*, 2007). در این شرایط، پاسخ آنتی اکسیدانی فرآیندی مهم برای حفاظت گیاهان در برابر آسیب‌های اکسیداتیوی است که در اثر طیف وسیعی از تنفس‌های محیطی مانند خشکی ایجاد می‌شود (Mittler *et al.*, 2004). در این راستا بیان شده است که کاتالاز یکی از آنزیم‌های جمع‌آوری کننده پراکسید هیدروژن به شمار می‌آید و افزایش فعالیت این آنزیم ضمن بهبود مقاومت گیاه در برابر تنفس، به بهبود عملکرد کمک می‌کند (Miri-Hesar *et al.*, 2019). همان‌طور که در این آزمایش نیز مشاهده شد، با افزایش شدت محدودیت آبی، فعالیت این آنزیم افزایش یافت. از طرفی افزایش در فعالیت پراکسیداز و پلی‌فنول اکسیداز در شرایط محدودیت آبی می‌تواند مکانیسم حفاظتی برای کاهش تخریب اکسیداتیو تحریک شده توسط تنفس ایجاد شده در گیاهان باشد (Meloni *et al.*, 2003).

تنش خشکی حفظ کنند، از این‌رو با افزایش محدودیت آبی، میزان نشاسته کاهش و در مقابل، میزان کربوهیدرات‌های محلول افزایش می‌یابد (Selim *et al.*, 2019). کاربرد کودهای زیستی می‌تواند با افزایش محتوای قندهای محلول و پرولین، باعث افزایش ظرفیت اسمزی شود که این امر منجر به افزایش شبیب پتانسیل آب و در نتیجه بهبود جذب آب و رشد گیاه در شرایط تنش شود (Asghari *et al.*, 2020). دلیل دیگر برای تأثیر این فارچ‌ها در افزایش محتوای قندهای محلول، افزایش مقدار هورمون‌های سیتوکین و جیبرلین در گیاهان مایکوریزایی است. افزایش در میزان این هورمون‌ها به‌ویژه سیتوکین‌های میتوکین می‌تواند با انتقال یون‌های مؤثر در باز شدن روزندها و تنظیم سطح کلروفیل، موجب بالارفتن سرعت فتوسنتر و در نهایت افزایش محتوای کربوهیدرات‌ها در گیاهان شود (Nemat-Alla *et al.*, 2008). آنلی و همکاران (Anli *et al.*, 2020) اظهار داشتند که کاربرد توان قارچ مایکوریزا و باکتری‌های محرك رشد در مقایسه با کاربرد این کودهای زیستی به صورت منفرد در شرایط تنش خشکی، منجر به تجمع بیشتر کربوهیدرات‌ها و عدم تأثیر قندهای محلول می‌شود. کاربرد نانوسیلیکون در شرایط محدودیت آبی نیز جذب آب در ریشه را با تجمع قندهای محلول و اسیدهای آمینه افزایش دهد (Sonobe *et al.*, 2011).

به‌نظر می‌رسد که زیاد شدن قندهای محلول در اثر تنش شدید به‌دلیل افزایش فشار اسمزی درون گیاه است، زیرا گیاه از این طریق می‌تواند مواد غذایی و آب را از خاک جذب کند. همچنین کاربرد کودهای زیستی در شرایط تنش‌های محیطی با افزایش جذب نیتروژن و پتاسیم و نیز افزایش کارابی این دو عنصر در فرآیند فتوسنتر گیاه نقش بهسازی را ایفا کرده و باعث افزایش انحلال پذیری عناصر در محیط ریشه و جذب مواد غذایی نیز می‌شود و از این طریق میزان فتوسنتر و تولید قند را در گیاه به مراتب افزایش می‌دهد. علاوه بر این سیلیکون با کاهش تنش اکسیداتیو و حفاظت از غشاها کلروپلاستی و سلولی و حفاظت از ماکرومولکول‌هایی نظری پروتئین‌ها، باعث افزایش قندهای موجود در گیاه می‌شود. مقایسه میانگین اثر سه گانه عامل‌های آزمایشی نشان داد ۳۰ که بیشترین محتوای قندهای محلول از محلول پاشی میلی‌گرم در لیتر نانوسیلیکون و کاربرد توانم کودهای زیستی در شرایط قطع آبیاری در مرحله آبستنی (۴/۵۶ میلی‌گرم بر گرم وزن تر) به دست آمد که نسبت به آبیاری کامل و عدم کاربرد کودهای زیستی و نانوسیلیکون از افزایش ۷۴ درصدی برخوردار بود (جدول ۴). افزایش قندهای محلول در شرایط تنش خشکی، می‌تواند به عنوان یک محافظ معمولی عمل کرده، غشاها سلولی را ثابت و فشار تورگر را تحت شرایط

جدول ۳- تجزیه واریانس عملکرد و ویژگی‌های بیوشیمیایی متأثر از کاربرد کودهای زیستی، نانوسیلیکون در شرایط قطع آبیاری
Table 3. Analysis of variance of yield and biochemical traits affected by bio-fertilizer and nano-silicon under irrigation cut-off conditions

Source of variations	df	Mean squares [†]								
		CAT	POD	PPO	Proline	SS	SP	GY	MDH	H ₂ O ₂
Replication	2	16.31	132.82	120.24	19.51	238.49	4.32	919674.88	0.000016	0.00334
Irrigation (I)	2	4037.59**	8669.13**	4197.31**	250.75**	4932.47**	144.66**	10748405.21**	0.1117**	0.00108 ^{ns}
Biofertilizer (B)	3	3884.72**	2251.43**	2313.23**	42.18**	2594.96**	236.90**	7176908.25**	0.000402**	0.1707**
Nanosilicon (N)	2	364.78**	1042.82**	2324.68**	58.26 **	993.14 **	83.67**	5809863.99**	0.000165**	0.0393**
I×B	6	150.12**	122.76**	443.47**	2.45 ns	336.19 **	1.19 ns	480148.99**	0.000024 ^{ns}	0.2214**
I×N	4	42.40 ns	117.60**	555.05 **	4.89 ns	225.93 **	3.02 ns	76486.35 ns	0.000018 ^{ns}	0.1187 **
B×N	6	107.28 **	47.68*	249.71**	1.12 ns	181.14 **	2.39 ns	424995.53**	0.000018 ^{ns}	0.0555**
I×B×N	12	79.38 **	51.10**	183.14*	2.39 ns	127.84 **	8.46 ns	130796.09**	0.000020 ^{ns}	0.0948**
Error	70	30.57	20.29	79.05	20.05	20.05	6.07	58836.63	0.000028	0.00817
CV (%)	-	11.74	4.84	14.76	17.40	12.75	13.76	8.74	6.67	6.27

^{ns}, * and **: Not-significant and significant at 5% and 1% probability levels, respectively.

[†]: The studied traits are: CAT, catalase; POD, peroxidase; PPO, polyphenol oxidase; SS, soluble sugar; SP, soluble protein; GY, grain yield; MDH, malondialdehyde.

جدول ۴- مقایسه میانگین ویژگی‌های بیوشیمیایی گندم در اثر کاربرد کودهای زیستی و نانوسیلیکون تحت شرایط قطع آبیاری

Table 4. Comparison of means of wheat biochemical characteristics affected by bio-fertilizer and nano-silicon under irrigation cut-off conditions

Treatment [†]	Catalase	Peroxidase	Polyphenol oxidase (OD µg Protein/min)	Soluble sugar (mg/g FW)	H ₂ O ₂ (µmol/g FW)
I ₁ S ₀ B ₀	20.51 ^q	65.74 ^t	41.93 ^j	24.97 ^m	0.276 kl
I ₁ S ₀ B ₁	28.22 ^{pq}	70.79 st	47.70 ^{ghij}	28.73 ^{jklm}	0.293 jk
I ₁ S ₀ B ₂	30.04 ^p	71.80 ^{rst}	44.92 ^{ij}	27.11 ^{klm}	0.276 kl
I ₁ S ₀ B ₃	42.14 ^{ijklmn}	78.43 ^{nopqr}	53.25 ^{fghij}	27.00 ^{lm}	0.246 mn
I ₁ S ₁ B ₀	35.52 ^{mnop}	74.22 ^{rs}	47.88 ^{ghij}	27.54 ^{klm}	0.294 jk
I ₁ S ₁ B ₁	29.73 ^p	77.97 ^{pqrs}	52.94 ^{fghij}	35.18 ^{ghijk}	0.238 mn
I ₁ S ₁ B ₂	35.31 ^{nop}	76.54 ^{qrs}	54.68 ^{fghij}	27.94 ^{klm}	0.233 mno
I ₁ S ₁ B ₃	40.67 ^{klmno}	86.19 ^{klm}	54.95 ^{fghij}	33.56 ^{hijkl}	0.226 no
I ₁ S ₂ B ₀	43.28 ^{ijklmn}	78.13 ^{opqr}	47.22 ^{ghij}	27.23 ^{klm}	0.272 kl
I ₁ S ₂ B ₁	43.32 ^{ijklmn}	85.43 ^{klmno}	54.00 ^{fghij}	31.28 ^{ijklm}	0.256 lm
I ₁ S ₂ B ₂	32.57 ^{op}	84.07 ^{klmnp}	55.19 ^{fghij}	26.39 ^{lm}	0.222 no
I ₁ S ₂ B ₃	39.81 ^{klmno}	91.38 ^{ijk}	52.78 ^{fghij}	32.76 ^{hijklm}	0.211 o
I ₂ S ₀ B ₀	35.86 ^{lmno}	75.85 ^{qrs}	45.73 ^{hij}	27.97 ^{klm}	0.350 bc
I ₂ S ₀ B ₁	39.20 ^{lmno}	79.12 ^{mnopqr}	53.77 ^{fghij}	25.81 ^{lm}	0.335 bcd ^{fg}
I ₂ S ₀ B ₂	35.85 ^{op}	85.41 ^{klmno}	49.35 ^{ghij}	26.99 ^{lm}	0.330 cdefghi
I ₂ S ₀ B ₃	58.52 ^{def}	96.66 ^{fghi}	55.87 ^{fghij}	38.34 ^{fghi}	0.316 ghij
I ₂ S ₁ B ₀	39.12 ^{lmno}	82.99 ^{lmnopq}	48.02 ^{ghij}	36.90 ^{shij}	0.332 bcd ^{efgh}
I ₂ S ₁ B ₁	41.24 ^{ijklmno}	96.47 ^{fghi}	57.92 ^{defghi}	31.19 ^{ijklm}	0.313 ghij
I ₂ S ₁ B ₂	40.51 ^{klmno}	85.75 ^{klmn}	59.14 ^{defghi}	27.62 ^{klm}	0.310 ghij
I ₂ S ₁ B ₃	60.13 ^{cde}	108.86 ^{cd}	64.01 ^{def}	48.79 ^d	0.306 ij
I ₂ S ₂ B ₀	48.27 ^{ghijk}	91.38 ^{hijk}	51.17 ^{fghij}	29.14 ^{ijklm}	0.329 cdefghi
I ₂ S ₂ B ₁	52.71 ^{efgh}	106.65 ^{cde}	60.40 ^{defg}	38.63 ^{fghi}	0.310 hij
I ₂ S ₂ B ₂	44.38 ^{ghijklm}	87.15 ^{kl}	60.46 ^{defgh}	33.09 ^{hijklm}	0.315 ghij
I ₂ S ₂ B ₃	57.34 ^{def}	100.39 ^{fg}	60.14 ^{defgh}	46.36 ^{def}	0.331 cdefgh
I ₃ S ₀ B ₀	44.75 ^{ghijkl}	88.48 ^{kl}	56.74 ^{efghi}	40.90 ^{defgh}	0.401 a
I ₃ S ₀ B ₁	50.23 ^{fghij}	103.02 ^{def}	56.69 ^{efghi}	45.83 ^{def}	0.349 bcd
I ₃ S ₀ B ₂	50.04 ^{fghij}	97.01 ^{fghi}	57.56 ^{defghi}	42.16 ^{defg}	0.350 bc
I ₃ S ₀ B ₃	64.91 ^{bcd}	119.34 ^b	71.37 ^{cd}	47.81 ^d	0.334 bcd ^{efgh}
I ₃ S ₁ B ₀	44.02 ^{ghijklmn}	98.69 ^{fgh}	58.02 ^{defghi}	43.05 ^{defg}	0.345 bcde
I ₃ S ₁ B ₁	53.39 ^{efg}	112.30 ^{bc}	92.91 ^b	45.47 ^{def}	0.345 bcde
I ₃ S ₁ B ₂	51.28 ^{fghij}	117.86 ^b	61.57 ^{defg}	46.51 ^{de}	0.321 efghi
I ₃ S ₁ B ₃	94.99 ^a	128.49 ^a	115.94 ^a	94.56 ^a	0.325 defghi
I ₃ S ₂ B ₀	68.92 ^{bc}	95.47 ^{ghij}	60.03 ^{defgh}	47.81 ^d	0.356 b
I ₃ S ₂ B ₁	68.94 ^{bc}	116.42 ^b	82.17 ^{bc}	66.29 ^c	0.341 bcd ^{fghi}
I ₃ S ₂ B ₂	60.28 ^{cde}	107.66 ^{cde}	69.07 ^{cde}	48.38 ^d	0.324 efghi
I ₃ S ₂ B ₃	71.88 ^b	126.69 ^a	111.77 ^a	83.12 ^b	0.319 fghi

Means followed by similar letter (s) in each column are not significantly different by LSD test at 5% probability level.

[†]: The studied factors are: I₁, I₂ and I₃, irrigation levels (No-stress, mild stress and severe stress, respectively); S₀, S₁ and S₂, nano-silicon levels (0, 30 and 60 mg L⁻¹, respectively); B₀, B₁, B₂ and B₃, bio-fertilizer levels (non-inoculated, inoculated with *Mycorrhiza*, inoculation with bacteria and Co-inoculation of *Mycorrhiza* and bacteria).

کاربرد توازن مایکوریزا و باکتری محرک رشد (۹/۷ میکروگرم بر گرم وزن تر برگ) در شرایط تنفس خشکی شدید (۱۰/۹۷ میکروگرم بر گرم وزن تر برگ) به دست آمد (جدول ۵). در واقع با افزایش محدودیت آبی، میزان انباست پرولین افزایش یافت، به نحوی که محتوای پرولین در قطع آبیاری در مرحله آبستنی نسبت به آبیاری کامل حدود ۴۷ درصد افزایش نشان

پرولین: نتایج تجزیه واریانس نشاندهنده معنی داری آثار اصلی آبیاری، محلول پاشی نانوسیلیکون و کاربرد کودهای زیستی است، اما بر همکنش عاملها تأثیر معنی داری روی این صفت نداشت (جدول ۳). نتایج مقایسه میانگین‌ها نشان داد که بیشترین محتوای پرولین در محلول پاشی ۶۰ میلی‌گرم در لیتر نانوسیلیکون (۹/۵ میکروگرم بر گرم وزن تر برگ)،

پروتئین در شرایط محدودیت آبی، نتیجه واکنش پروتئین با رادیکال‌های آزاد و در نتیجه تغییر اسید آمینه، کاهش سنتز پروتئین و نیز تجمع اسیدهای آمینه آزاد از جمله پروولین (جدول ۵) و افزایش فعالیت آنزیم‌های تجزیه کننده پروتئین باشد (Jin *et al.*, 2016). همچنین، کاربرد توأم و منفرد کودهای زیستی موجب افزایش محتوای پروتئین کل نسبت به عدم کاربرد آن‌ها شد، بهطوری که محتوای پروتئین کل برگ (۲۱/۸۶ درصد) در کاربرد توأم باکتری‌های محرك رشد و قارچ مایکوریزا افزایش ۳۲ درصدی نسبت به عدم کاربرد آن‌ها نشان داد (جدول ۵). با افزایش کاربرد نانوسیلیکون، مقدار پروتئین‌های محلول بهطور معنی‌داری افزایش یافت، اگرچه اختلاف معنی‌داری بین عدم کاربرد و محلول پاشی ۳۰ میلی‌گرم در لیتر نانوسیلیکون در سطح احتمال یک درصد وجود نداشت (جدول ۵). افزایش پروتئین‌های محلول در کاربرد سیلیکون احتمالاً با سنتز پروتئین‌های جدید و یا افزایش سطح پروتئین‌های مرتبط با تحمل به تنش نظری پروولین (جدول ۵) و یا نقش این عنصر در مقابله با تنش اکسیداتیو در ارتباط باشد (Gong *et al.*, 2008).

پراکسیدهیدروژن و مالون دی‌آلدئید: نتایج تجزیه واریانس نشان داد که اثر اصلی هر یک از عامل‌های آزمایشی بر محتوای مالون دی‌آلدئید و برهمکنش آن‌ها بر پراکسیدهیدروژن در سطح احتمال یک درصد معنی‌دار بود (جدول ۳). قطع آبیاری در مرحله آبستنی موجب افزایش ۱۵/۶۵ درصدی فعالیت مالون دی‌آلدئید نسبت به شرایط آبیاری کامل شد. افزایش مالون دی‌آلدئید در گیاه نشان‌دهنده این است که تحت شرایط تنش، ساختار غشاء آسیب دیده و لیپیدهای آن آزاد شده و بهدلیل وجود ترکیبات ROS که تحت شرایط تنش افزایش می‌باشد، این لیپیدها پراکسیده شده و مالون دی‌آلدئید تولید می‌شود. بهنظر می‌رسد کاربرد سیلیکون و کودهای زیستی با افزایش فعالیت آنزیم‌های آنتی اکسیدانی (جدول ۴) و محافظت از غشاء سلول در برابر پراکسیداسیون لیپیدی، و همچنین افزایش اسماولیت‌های سازگاری همانند پروولین (جدول ۵) و قندهای محلول (جدول Shekari *et al.*, 2017) موجب تحمل بهتر گیاه به شرایط تنش (۴) و کاهش محتوای مالون دی‌آلدئید می‌شود.

داد. بهنظر می‌رسد زمانی که گیاه تحت شرایط تنش خشکی قرار می‌گیرد، مقدار پروولین در سلول‌ها افزایش می‌باید تا با افزایش غلظت داخل سلول، جذب و نگهداری آب داخل سلول را حفظ کند (Ahmed *et al.*, 2017). مقایسه میانگین‌ها نشان داد که عدم کاربرد کودهای زیستی سبب کاهش ۳۱ درصدی محتوای پروولین برگ گیاه شد (جدول ۵). گزارش شده است که کاربرد مایکوریزا و باکتری‌های محرك رشد میزان پروولین را در گیاهان بهطور معنی‌داری افزایش می‌دهد (Laxa *et al.*, 2012). لаксا و همکاران (Asrar and Elhindi, 2019) اظهار داشتند که پروولین به عنوان منبع نیتروژن برای گیاهان در شرایط تنش خشکی محافظت می‌کند و در تحمل سیتوپلاسمی بسیاری از گیاهان تحت تنش کم‌آبی نقش اساسی دارد. در مطالعه حاضر مشاهده شد که مصرف نانوسیلیکون نسبت به عدم کاربرد آن موجب افزایش ۳۲/۶۸ درصدی محتوای پروولین شد (جدول ۵). از آنجا که پروولین نقش موثری را در جلوگیری از تخریب آنزیم‌ها و تجزیه ماکرومولکول‌ها و حفظ استحکام دیواره سلولی در هنگام قوعه تنش‌های محیطی از جمله تنش خشکی دارد، از این‌رو بهنظر می‌رسد کاربرد سیلیکون و کودهای زیستی (قارچ مایکوریزا و باکتری‌های محرك رشد) با افزایش محتوای پروولین به افزایش تحمل گیاه در برابر تنش خشکی کمک می‌کند. نتایج مشابهی توسط بوخاری و همکاران (Bukhari *et al.*, 2020) مبني بر افزایش محتوای پروولین در محلول پاشی چهار میلی‌مolar سیلیکون گزارش شده است. همچنین در طی آزمایشی نانو دی اکسید سیلیکون عملکرد گیاه و تجمع پروولین را بهبود بخشید. در نتیجه افزایش در تجمع پروولین، اسیدهای آمینه آزاد، محتوی عناصر معدنی، فعالیت آنزیم‌های آنتی اکسیدانت بواسطه نانو دی اکسید سیلیکون، تحمل گیاهان به تنش غیرزنده بهبود یافت (Siddiqui *et al.*, 2015).

پروتئین کل محلول برگ پرچم: آثار اصلی آبیاری، کودهای زیستی و محلول پاشی نانوسیلیکون بر این صفت در سطح احتمال یک درصد معنی‌دار بود (جدول ۳). مقایسه میانگین‌ها نشان داد که قطع آبیاری در مرحله آبستنی موجب کاهش ۲۰ درصدی پروتئین برگ پرچم نسبت به آبیاری کامل شد (جدول ۵). بهنظر می‌رسد که کاهش محتوای

جدول ۵- اثر کاربرد کودهای زیستی و نانوسیلیکون بر میزان پروتئین محلول و مالون دی آلدئید گدم تحت شرایط قطع آبیاری

Table 5. Effect of bio-fertilizer and nano-silicon on proline, soluble protein and MDA of wheat under irrigation cut-off conditions

Treatment		Proline ($\mu\text{g/g FW}$)	Soluble protein (mg/g FW)	Malondialdehyde ($\mu\text{mol/g FW}$)
Irrigation	Normal irrigation	5.84 ^c	19.84 ^a	0.0728 ^c
	Moderate stress	7.32 ^b	18.01 ^b	0.0791 ^b
	Severe stress	10.97 ^a	15.84 ^c	0.0842 ^a
Nano-silicon (mg/L)	Control	7.16 ^b	16.57 ^b	0.0807 ^a
	30	7.47 ^b	17.56 ^b	0.0790 ^a
	60	9.50 ^a	19.56 ^a	0.0760 ^b
Bio-fertilizer	Non-inoculated	6.72 ^c	14.82 ^c	0.0844 ^a
	Mycorrhiza	7.61 ^b	16.84 ^b	0.0775 ^b
	PGPR	8.15 ^b	18.06 ^b	0.0774 ^b
	PGPR with Mycorrhiza	9.70 ^a	21.86 ^a	0.0756 ^b

Means followed by the similar letter in each column are not significantly different by LSD test at 5% probability level.

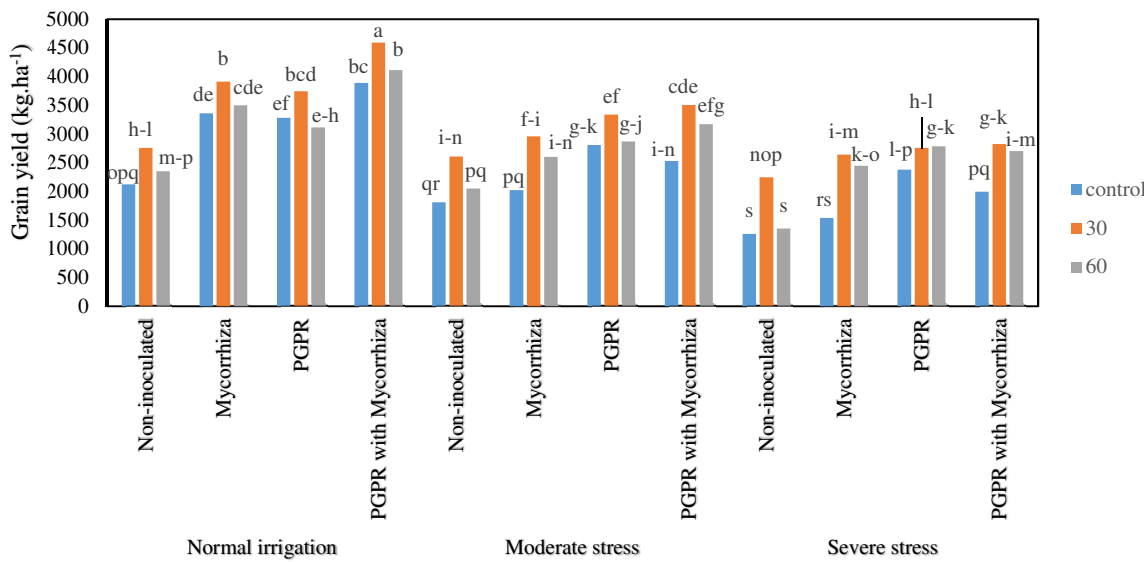
برخی از آنزیم‌های مهم سیستم دفاعی اکسیداتیو مانند کاتالاز و پراکسیداز (جدول ۴) و کاهش محتوای مالون دی آلدئید (جدول ۵) مرتبط باشد. در این راستا محققان اظهار داشتند که استفاده از سیلیکون سبب افزایش فعالیت برخی آنزیم‌های مهم شرکت کننده در سیستم دفاعی اکسیداتیو مانند کاتالاز و پراکسیداز و کاهش پراکسیدهیدروژن و مالون دی آلدئید در گیاهانی می‌شود که با محدودیت آبی مواجه هستند (Maghsoudi *et al.*, 2019). از طرفی در شرایط محدودیت آبی، گیاهان تیمارشده با باکتری‌های محرک رشد و قارچ مایکوریزا با افزایش فعالیت آنزیم‌های آنتی‌اکسیدانی (جدول ۴) آثار ناشی از تنفس اکسیداتیو و با افزایش اسمولیتی‌های سازگاری نظیر پرولین (جدول ۵) آثار ناشی از کمبود آب را تا حدود زیادی تعديل می‌کنند و موجب کاهش محتوای پراکسیدهیدروژن می‌شوند. باتول و همکاران (Batool *et al.*, 2020) نشان دادند که محتوای مالون دی آلدئید در عدم کاربرد باکتری‌های محرک رشد تحت تنفس خشکی ملایم و شدید به ترتیب ۵۰ و ۷۵ درصد افزایش و در کاربرد این باکتری‌ها ۴۱ و ۶۵ درصد کاهش داشت. به نظر می‌رسد تحت تنفس خشکی، گیاهان تیمارشده با باکتری‌های محرک رشد و قارچ مایکوریزا، با تنظیم مجدد ترکیبات آنتی‌اکسیدانی، مهار ROS و فعالیت آنزیم‌های آنتی‌اکسیدانی، تنفس اکسیداتیو ناشی از کمبود آب را خنثی می‌کند، زیرا مشاهده شده است که گیاهان در برابر آسیب‌های ناشی از این تنفس اکسیداتیو با مکانیسم سمزدایی ROS که می‌تواند آنزیمی و یا غیرآنزیمی باشد، محافظت می‌شوند (Anli *et al.*, 2020).

نتایج مقایسه میانگین‌ها نشان داد که گیاهان برخوردار از سطوح بالای نانوسیلیکون و کاربرد توازن کودهای زیستی در مقایسه با عدم کاربرد این عوامل به ترتیب از کاهش ۱۱ و ۶/۱ درصدی مالون دی آلدئید برخوردار بودند (جدول ۵). کاهش پراکسیداسیون چربی‌ها در گیاهان تیمارشده با سیلیکون بیانگر تقویت مکانیسم‌های مقاومتی (احتمالاً ترشح اسیدهای Haddad and Mokhlesian, 2016) در این گیاهان است (Gholinezhad *et al.*, 2020). قلی‌نژاد و همکاران (2016) اظهار داشتند که محتوای مالون دی آلدئید در شرایط قطع آبیاری در مرحله آبستنی نسبت به آبیاری کامل ۲۷ درصد افزایش یافت، اما کاربرد مایکوریزا محتوای مالون دی آلدئید را کاهش داد. ایشان علت آنرا به نقش مایکوریزا در پاکسازی گونه‌های فعال اکسیژن (ROS) نسبت دادند. محققان دیگر علت کاهش محتوای مالون دی آلدئید در گیاهان برخوردار از باکتری‌های محرک رشد را به نقش محافظتی این باکتری‌ها در کاهش تجمع گونه‌های فعال اکسیژن و جلوگیری از پراکسیداسیون لیپیدها نسبت دادند که در نهایت مانع افزایش مالون دی آلدئید می‌شود (Asghari *et al.*, 2020).

نتایج مقایسه میانگین‌ها نشان داد که قطع آبیاری در مرحله آبستنی و عدم کاربرد کودهای زیستی و نانوسیلیکون، از افزایش ۶۰ درصدی پراکسیدهیدروژن نسبت به شرایط آبیاری کامل با کاربرد توازن کودهای زیستی و محلول پاشی ۶۰ میلی‌گرم در لیتر نانوسیلیکون برخوردار بود (جدول ۴). بهنظر می‌رسد بخشی از کاهش محتوای پراکسیدهیدروژن در حالت استفاده از سیلیکون و کودهای زیستی با افزایش فعالیت

آنٹی اکسیدان (جدول ۴)، کاهش محتوای مالون دی‌آلدئید و افزایش اسمولیت‌های سازگاری مانند پروولین (جدول ۵) و قندهای محلول (جدول ۴) باشد که موجب تحمل بهتر گیاه به شرایط تنش می‌شود. نتایج مشابهی توسط محققان دیگر نیز گزارش شده است، به طوری که محلول پاشی نانوذی اکسید سیلیکون با افزایش تجمع آنزیم‌های آنتی اکسیدان و افزایش کارابی دستگاه‌های فتوسنتزی (Kalteh *et al.*, 2014) و باکتری‌های محرک رشد حاوی آنزیم ACC دامیناز با کاهش سطح اتیلن گیاه (Wagar *et al.*, 2004) می‌توانند رشد و عملکرد گیاه را بهبود بخشدند.

عملکرد دانه: نتایج تجزیه واریانس داده‌ها نشان داد که بر همکنش سه عامل آبیاری × کودهای زیستی × نانو سیلیکون بر عملکرد دانه در سطح احتمال یک درصد معنی دار بود (جدول ۳). عدم کاربرد نانو سیلیکون و کودهای زیستی در شرایط قطع آبیاری در مرحله آبستنی، سبب کاهش ۵۵ درصدی عملکرد دانه نسبت به محلول پاشی ۳۰ میلی‌گرم در لیتر نانو سیلیکون و تلقیح توأم بذر با باکتری‌های محرک رشد و قارچ مایکوریزا شد (شکل ۱). بخشی از افزایش عملکرد گیاه در اثر کاربرد کودهای زیستی و نانو سیلیکون در شرایط محدودیت آبی می‌تواند ناشی از افزایش فعالیت آنزیم‌های



شکل ۱- اثر سطوح آبیاری، کودهای زیستی و نانو سیلیکون بر عملکرد دانه گندم. PGPR باکتری‌های محرک رشد و ۳۰ و ۶۰ میلی‌گرم در لیتر نانو سیلیکون.

Figure 1. Effect of irrigation levels, bio-fertilizer and nano silicon on wheat grain yield. PGPR, plant growth promoting rhizobacteria and control, 30 and 60, concentrations of 0, 30 and 60 mg/L nano-silicon, respectively.

محرك رشد) به صورت همزمان و یا منفرد ممکن است به دلیل افزایش فعالیت آنزیم‌های آنتی اکسیدانی و تنظیم اسمزی ناشی از پروولین و قندهای محلول باشد. به نظر می‌رسد که محلول پاشی ۳۰ میلی‌گرم در لیتر نانو سیلیکون همراه با تلقیح توأم بذر با باکتری‌های محرک رشد (فلاوباکتریوم و سودوموناس) و قارچ مایکوریزا، روش مناسبی برای کاهش یا تعدیل اثر محدودیت آبی و افزایش عملکرد دانه گندم باشد.

نتیجه‌گیری کلی

نتایج پژوهش حاضر نشان داد که تحت شرایط تنش خشکی، حضور سیلیکون و کاربرد کودهای زیستی به صورت توأم و یا منفرد، نقش چشم‌گیری در کاهش محتوای پراکسیداسیون لیپیدی و پراکسید هیدروژن و افزایش عملکرد گندم داشت. بهبود رشد گیاهان در شرایط تنش با کاربرد سیلیکون و کودهای زیستی (قارچ مایکوریزا و باکتری‌های

References

- Agarie, S., Hanaoka, N., Ueno, O., Miyazaki, A., Kubota, F., Agata, W. and Kaufman, P. B. 1998.** Effects of silicon on tolerance to water deficit and heat stress in rice plants (*Oryza sativa* L.) monitored by electrolyte leakage. **Plant Production Science** 1 (2): 96-103.
- Ahmad, P. and Prasad, M. N. V. 2012.** Abiotic stress responses in plants: Metabolism, productivity and sustainability. Springer, New York.
- Ahmed, M., Hassan, F. U., Qadir, G., Shaheen, F. A. and Aslam, M. A. 2017.** Response of proline accumulation in bread wheat (*Triticum aestivum* L.) under rainfed conditions. **Journal of Agricultural Meteorol** 73 (4): 147-155.
- Alexieva, V., Sergiev, I., Mapelli, S. and Karanov, E. 2001.** The effect of drought and ultraviolet radiation on growth and stress markers in pea and wheat. **Plant Cell and Environment** 24: 1337-1344.
- Abdelilah, M. and Boumezzough, A. 2017.** First detection of potosia opaca larva attacks on *Phoenix dactylifera* and *P. canariensis* in Morocco: Focus on pests control strategies and soil quality of prospected palm groves. **Journal of Entomology and Zoology Studies** 4 (5): 984-991.
- Anli, M., Baslam, M., Tahiri, A., Raklami, A., Symanczik, S., Boutasknit, A., Ait-El-Mokhtar, M., Ben Laouane, R., Toubali, S., Ait Rahou, Y., Ait Chitt, M., Oufdou, K., Mitsui, T., Hafidi, M. and Meddich, A. 2020.** Biofertilizers as strategies to improve photosynthetic apparatus, growth, and drought stress tolerance in the date palm. **Frontiers in Plant Science** 11: 1-21.
- Aghbari, B., Khademian, R. and Sedaghati, B. 2020.** Plant growth promoting rhizobacteria (PGPR) confer drought resistance and stimulate biosynthesis of secondary metabolites in pennyroyal (*Mentha pulegium* L.) under water shortage condition. **Scientia Horticulturae** 263: 109132.
- Asrar, A. W. A. and Elhindi, K. M. 2011.** Alleviation of drought stress of marigold (*Tagetes erecta*) plants by using arbuscular mycorrhizal fungi. **Saudi Journal of Biological Sciences** 18: 93-98.
- Bandeoglu, E., Eyidogan, F., Yucel, M. and Oktem, H. A. 2004.** Antioxidant responses of shoots and roots of lentil to NaCl-salinity stress. **Plant Growth Regulation** 42: 69-77.
- Bates, I. S., Waldern, R. P. and Teare, I. D. 1973.** Rapid determination of free prolin for water stress studies. **Journal Plant and Soil** 39: 205-207.
- Batool, A., Akram, N. A., Cheng, Z. G., Lv, G.C., Ashraf, M., Afzal, M., Xiong, J. L., Wang, J. Y. and Xiong, Y. C. 2019.** Physiological and biochemical responses of two spring wheat genotypes to non-hydraulic root-to-shoot signalling of partial and full root-zone drought stress. **Plant Physiology and Biochemistry** 139: 11-20.
- Batool, T., Ali, S. and Seleiman, M. F. 2020.** Plant growth promoting rhizobacteria alleviates drought stress in potato in response to suppressive oxidative stress and antioxidant enzymes activities. **Scientific Reports** 10: 16975.
- Bradford, M. M. 1976.** A rapid and sensitive method for the quantitation of microgram quantities of protein utilizing the principle of protein-day binding. **Analytical Biochemistry** 72: 248-254.
- Bukhari, M. A., Ahmad, Z., Ashraf, M. Y., Afzal, M., Nawaz, F., Nafees, M., Jatoi, W. N., Malghani, N. A., Shah, A. N. and Manan, A. 2020.** Silicon mitigates drought stress in wheat (*Triticum aestivum* L.) through improving photosynthetic pigments, biochemical and yield characters. **Silicon** 2020. <https://doi.org/10.1007/s12633-020-00797-4>.
- Chakraborty, U., Chakraborty, B. N., Chakraborty, A. P. and Dey, P. L. 2013.** Water stress amelioration and plant growth promotion in wheat plants by osmotic stress tolerant bacteria. **World Journal of Microbiology and Biotechnology** 29: 789-803.
- Dubios, M., Gilles, K. A., Hamilton, J. K., Roberts, P. A. and Smith, F. 1956.** Colorimetric method for determination of sugars and related substances. **Annual of chemistry** 28: 350-356.
- Ghanbari, M., Mokhtassi-Bidgoli, A., Mansour Ghanaei-Pashaki, K. and Talebi-Siah Saran, P. 2021.** The study of yield and physiological characteristics of pearl millet (*Pennisetum glaucum*) in response to bio-fertilizers and different irrigation regimes. **Journal of Agricultural Science and Sustainable Production** 31 (1): 23-37.
- Gholinezhad, E., Darvishzadeh, R., Siavash Moghaddam, S. and Popovic-Djordjevic, J. 2020.** Effect of mycorrhizal inoculation in reducing water stress in sesame (*Sesamum indicum* L.). The assessment

- of agrobiochemical traits and enzymatic antioxidant activity. **Journal of Agricultural Water Management** 238: 106234-106245.
- Gianinazzi, S., Schuepp, H., Barea, J. M. and Haselwandter, K. 2001.** Mycorrhizal technology in agriculture: From genes to bioproducts. Birkhauser, Basel. 296 p. ISBN: 376436858.
- Gong, H. and Chen, K. 2012.** The regulatory role of silicon on water relations, photosynthetic gas exchange, and carboxylation activities of wheat leaves in field drought conditions. **Acta Physiologiae Plantarum** 34: 1589-1594.
- Gong, H. J., Chen, K. M. and Zhao, Z. G. 2008.** Effects of silicon on defense of wheat against oxidative stress under drought at different developmental stages. **Biologia Plantarum** 52: 592-596.
- Gaur, S., Kumar, J., Kumar, D., Chauhan, D. K., Prasad, S. M. and Seivastava, P. K. 2020.** Fascinating impact of silicon and silicon transporters in plants: A review. **Ecotoxicology and Environmental Safety** 202: 110885.
- Haddad, R. and Mokhlesian, S. 2016.** Effect of silicon on the peroxidase gene expression and morphological traits of barley under drought Stress. **Journal of Cell and Tissue** 6 (4): 451-460. (In Persian with English Abstract).
- Hajiboland, R., Cherghvareh, L. and Dashtebani, F. 2017.** Effect of silicon supplementation on wheat plants under salt stress. **Journal of Plant Process and Function** 5 (18): 1-12.
- Irankhah, S., Ganjeali, A., Mashreghi, M. and Lari, Z. 2021.** Mixed inoculum of rhizobacteria and arbuscular mycorrhizal fungus enhance diosgenin contain and phosphorus uptake in fenugreek under drought stress. **Rhizosphere** 18: 100338.
- Jin, R., Wang, Y., Liu, R., Gou, J. and Chan, Z. 2016.** Physiological and metabolic changes of purslane (*Portulaca oleracea* L) in response to drought, heat, and combined stresses. **Frontiers in Plant Sciences** 6: 1123.
- Kalteh, M., Alipour, Z. T., Ashraf, S., Aliabadi, M. M. and Nosratabadi, A. F. 2014.** Effect of silica nanoparticles on basil (*Ocimum basilicum*) under salinity stress. **Journal of Chemical Health Risks** 4 (3): 49-55.
- Karo, M. and Mishra, D. 1976.** Catalase, peroxidase, and polyphenoloxidase activities during rice leaf senescence. **Plant Physiology** 57: 315-319.
- Kheirizadeh Arough, Y., Seyed Sharifi, R. and Seyed Sharifi, R. 2016.** Bio fertilizers and zinc effects on some physiological parameters of triticale under water-limitation condition. **Journal of Plant Interactions** 11 (1): 167-177.
- Laxa, M., Liebthal, M., Telman, W., Chibani, K. and Dietz, K. J. 2019.** The role of the plant antioxidant system in drought tolerance. **Antioxidants** 8 (4): 1-31.
- Luyckx, M., Hausman, J. F., Lutts, S. and Guerriero, G. 2017.** Silicon and plants: Current knowledge and technological perspectives. **Frontiers in Plant Sciences** 8: 411.
- Maghsoudi, K., Emam, Y., Ashraf, M. and Arvin, M. J. 2019.** Alleviation of field water stress in wheat cultivars by using silicon and salicylic acid applied separately or in combination. **Crop and Pasture Science** 70: 36-43.
- Meloni, D., Oliva, M., Martinez, C. and Cambraia, J. 2003.** Photosynthesis and activity of superoxide dismutase, peroxidase and glutathione reductase in cotton under salt stress. **Environmental and Experimental Botany** 49 (1): 69-76.
- Miri-Hesar, K., Dadkhodae, A., Dorostkar, S. and Heidari, B. 2019.** Differential activity of antioxidant enzymes and physiological changes in wheat (*Triticum aestivum* L.) under drought stress. **Notulae Scientia Biologicae** 11 (2): 266-276.
- Mittler, R., Vanderauwera, S., Gollery, M. and Vanbreusegem, F. 2004.** Reactive oxygen gene network of plants. **Trends in Plant Science** 9: 490-498.
- Moller, I. M., Jensen, P. E. and Hansson, A. 2007.** Oxidative modifications to cellular components in plants. **Annual Review of Plant Biology** 58: 459-481.
- Mushtaq, A., Khan, Z., Khan, S., Rizwan, S., Jabeen, U., Bashir, F., Ismail, T., Anjum, S. and Masood, A. 2020.** Effect of silicon on antioxidant enzymes of wheat (*Triticum aestivum* L.) grown under salt stress. **Silicon** 12: 2783-2788.

- Nemat-Alla, M. M., Badawi, A. M., Hassan, N. M., El-Bastawisy, Z. M. and Badran, E. G.** 2008. Effect of metribuzin, butachlor and chlorimuron-ethyl on amino acid and protein formation in wheat and maize seedlings. **Pesticide Biochemistry and Physiology** 90: 8-18.
- Raklami, A., Bechtaoui, N., Tahiri, A., Anli, M., Meddich, A. and Oufdou, K.** 2019. Use of rhizobacteria and mycorrhizae consortium in the open field as a strategy for improving crop nutrition, productivity and soil fertility. **Frontiers in Microbiology** 10: 1106.
- Sattar, A., Sher, A., Ijaz, M., Ul-Allah, S., Rizwan, M. S. and Hussain M.** 2020. Terminal drought and heat stress alter physiological and biochemical attributes in flag leaf of bread wheat. **Plos One** 15 (5): 1-14.
- Selim, D. H., Nassar, R. A., Boghdady, M. S. and Bonfill, M.** 2019. Physiological and anatomical studies of two wheat cultivars irrigated with magnetic water under drought stress conditions. **Plant Physiology and Biochemistry** 135: 480-488.
- Shekari, F., Abbasi, A. and Mustafavi, S. H.** 2017. Effect of silicon and selenium on enzymatic changes and productivity of dill in saline condition. **Journal of the Saudi Society of Agricultural Sciences** 16 (4): 367-374.
- Siddiqui, M. H., Al-Whaibi, M. H., Firoz, M. and Al-Khaishany, M. Y.** 2015. Role of nanoparticles in plants. In: Siddiqui, M. H., Al-Whaibi, M. H. and Firoz, M. (Eds.). Nanotechnology and plant science. Springer. pp: 19-35.
- Sonobe, K., Hattori, T., Tsuji, W., Eneji, A. E., Kobayashi, S., Kawamura, Y., Tanaka, K. and Inanaga, S.** 2011. Effect of silicon application on sorghum root responses to water stress. **Journal of Plant Nutrition** 34 (1): 71-82.
- Stewart, R. C. and Beweley, J. D.** 1980. Lipid peroxidation associated with accelerated aging of soybean axes. **Plant Physiology** 65: 245-248.
- Wagar, A., Shahroona, B. Z., Zahir, A. and Arshad, M.** 2004. Inoculation with Acc deaminase containing rhizobacteria for improvming growth and yield of wheat. **Pakistan Journal of Agricultural Sciences** 41: 119-124.
- Wu, S. C., Caob, Z. H., Lib, Z. G., Cheunga, K. C. and Wong, M. H.** 2005. Effects of bio-fertilizer containing N-fixer, P and K solubilizers and AM fungi on maize growth: A greenhouse trial. **Journal of Geoderma** 125: 155-166.
- Young, L. S., Hameed, A., Peng, S. Y., Shan, Y. H. and Wu, S. P.** 2013. Endophytic establishment of the soil isolate *Burkholderia* sp. CC-Al74 enhances growth and P-utilization rate in maize (*Zea mays* L.). **Applied Soil Ecology** 66: 40-47.



doi: 10.22124/cr.2021.18682.1645

(Research Article)

University of Guilan
Faculty of Agricultural
Sciences

Cereal Research
Vol. 10, No. 4, Winter 2021 (285-298)

Effect of water limitation and application of bio-fertilizer and nano-silicon on yield and some biochemical traits of wheat

Farnaz Ahmadi Nouraldinvand^{1*}, Raouf Seyed Sharifi², Seyed Ataollah Siadat³ and Razieh Khalilzadeh⁴

Received: October 21, 2020

Accepted: January 23, 2021

Abstract

To study the effect of water limitation and application of bio-fertilizer and nanosilicon on yield and some biochemical characteristics of wheat, a factorial experiment was carried out in a randomized complete block design with three replications in the research field of Faculty of Agriculture and Natural Resources, University of Mohaghegh Ardabili, Ardabil, Iran, in 2018-2019. Experimental factors were included irrigation in three levels (full irrigation as control and irrigation cut-off at 50% of booting and heading stages, based on codes 55 and 43 of the BBCH scale, as moderate and severe water limitation, respectively,), foliar application of nano-silicon (water spraying as control, 30 mg/L or 22.5 mg/m² and 60 mg/L or 45 mg/m² nano-silicon) and bio-fertilizer (no application as control, application of mycorrhiza (*Glomus mosseae*), application of *flavobacterium + pseudomonas* strain 186, combined application of mycorrhiza and *flavobacterium + pseudomonas*). The results showed that the highest antioxidant enzymes activity and soluble sugars were obtained by combined application of bio-fertilizers and foliar application of 30 mg/L nano-silicon under the condition of irrigation limitation at booting stage. Under full irrigation condition and non-application of bio-fertilizers and nano-silicon, the activity of catalase, peroxidase and polyphenol oxidase enzymes and soluble sugar content decreased 78, 49, 64 and 74 percent, respectively, compared to severe water limitation at booting stage and combined application of bio-fertilizers and 30 mg/L nano-silicon. Maximum proline content was also obtained by foliar application of 60 mg/L nano-silicon (9.50 µg/g FW) and combined application of bio-fertilizers (9.70 µg/g FW) under severe stress conditions (10.97 µg g Fw⁻¹). Hydrogen peroxide (H₂O₂) content under severe water limitation at booting stage and non-application of bio-fertilizers and nano-silicon was 90% higher than the application of 60 mg/L nano-silicon and combined application of bio-fertilizers under full irrigation condition. The highest grain yield (4593 kg/ha) was obtained from the foliar application of 30 mg/L nano-silicon and combined application of bio-fertilizers under full irrigation conditions. The results of current study showed that the combined application of bio-fertilizers and nano-silicon can increase wheat grain yield under water limitation conditions by improving plant biochemical characteristics.

Keywords: Antioxidant, irrigation withholding, hydrogen peroxide, Nanotechnology, soluble sugars

1. Ph. D. Student, Dept. of Plant Production and Genetic Engineering, Faculty of Agriculture and Natural Resources, University of Mohaghegh Ardabili, Ardebil, Iran
2. Prof., Dept. of Plant Production and Genetic Engineering, Faculty of Agriculture and Natural Resources, University of Mohaghegh Ardabili, Ardebil, Iran
3. Prof., Dept. of Plant Production and Genetic Engineering, Faculty of Agriculture, Agricultural Sciences and Natural Resources University of Khuzestan, Khozestan, Iran
4. Ph. D. Graduate, Dept. of Plant Production and Genetic Engineering, Faculty of Agriculture, University of Urmia, Iran

* Corresponding author: farnaz_ahmadi@rocketmail.com